



Численное моделирование наката уединенных волн на откос с учетом частотной дисперсии. Модель, алгоритм, результаты

О.И.Гусев, Г.С.Хакимзянов, Л.Б.Чубаров

- *Федеральный исследовательский центр информационных и вычислительных технологий;*
- *Новосибирский государственный университет*

O.I.Gusev, G.S.Khakimzyanov, L.B.Chubarov, and D. Dutykh Assessing the frequency dispersion influence on the solitary-wave interaction with a constant sloping beach // Journal of Applied Mechanics and Technical Physics, **2021**, Vol.62, No.4, pp.624–632. DOI: 10.1134/S0021894421040118
Гусев О.И., Хакимзянов Г.С., Чубаров Л.Б., Дутых Д. Оценки влияния частотной дисперсии на характеристики взаимодействия уединенных волн с плоским береговым склоном//Прикладная механика и техническая физика. Том:62.Номер:4. (368).Год:**2021**, С.114–123. DOI:10.15372/PMTF20210411

«ВОЛНЫ ЦУНАМИ: МОДЕЛИРОВАНИЕ, МОНИТОРИНГ, ПРОГНОЗ»

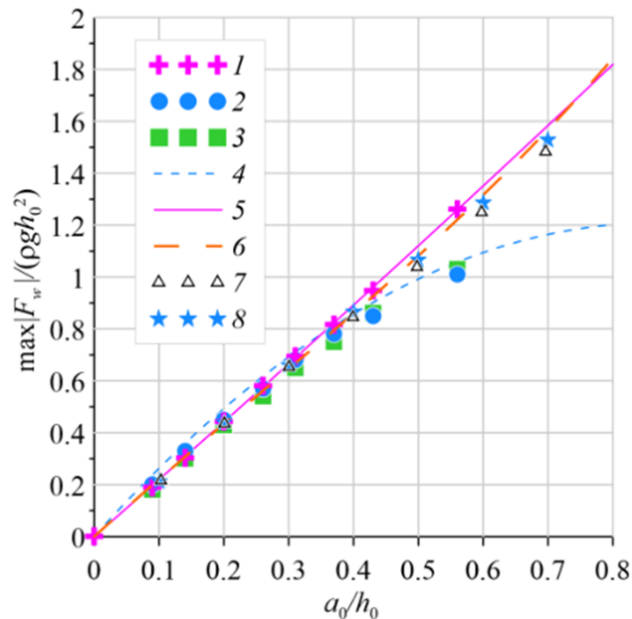
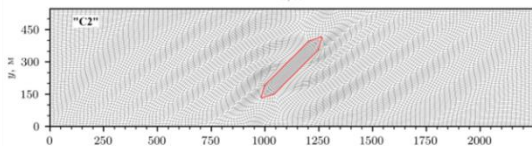
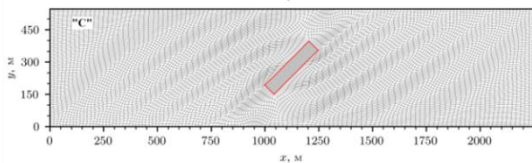
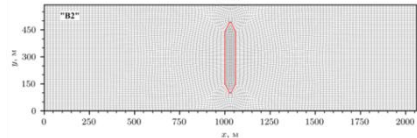
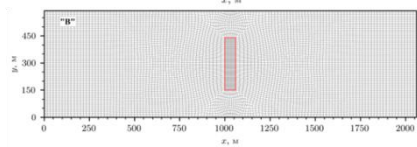
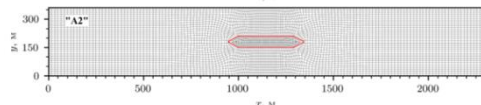
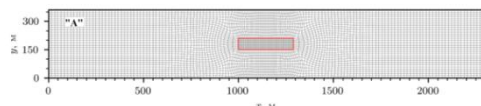
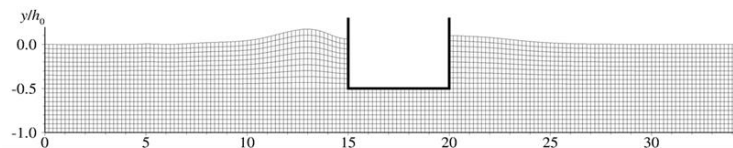
III Всероссийская научная конференция

Москва, 16-17 ноября 2021 г.



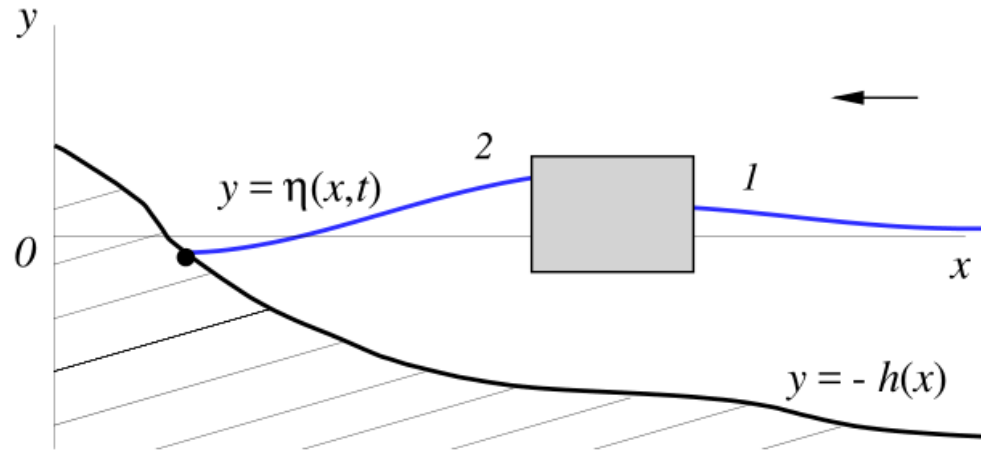
МОТИВАЦИЯ:

Оценка силового воздействия волны цунами на объект
(вертикальная стенка, сравнение с экспериментами и другими моделями)



Зависимости максимальной волновой силы, действующей на неподвижную вертикальную стенку, от амплитуды набегающей волны

- 1 - результаты Pot-модели;
- 2 - экспериментальные данные [Chen et al. \(2019b\)](#);
- 3 - расчёты по модели Навье – Стокса [Chen et al. \(2019b\)](#);
- 4 - кривая, соответствующая формуле, аппроксимирующей данные 2 (после вычета гидростатической компоненты давления);
- 5 - кривая, соответствующая формуле, аппроксимирующей расчётные данные 1;
- 6 и 7 результаты расчётов из работ [Cooke et al. \(1997\)](#) и [Zheleznyak \(1985\)](#) соответственно;
- 8 - результаты расчётов, выполненных с использованием НЛД-модели ([Khakimzyanov and Dutykh, 2020](#))



- **Oleg I. Gusev, Gayaz S. Khakimzyanov, Leonid B. Chubarov,** Numerical investigation of the wave force on a partially immersed rectangular structure: Long waves over a flat bottom // *Ocean Engineering*, Volume 221, **2021**, 108540, ISSN 0029-8018, <https://doi.org/10.1016/j.oceaneng.2020.108540>.

- **Khakimzyanov G.S., Dutykh D.** Long wave interaction with a partially immersed body. Part I: Mathematical models//*Communications in Computational Physics*. **2020**. V.27. No.2. P.321-378.

- **Kirby J.T. et al.** Dispersive tsunami waves in the ocean: Model equations and sensitivity to dispersion and Coriolis effects//*Ocean Modelling*. **2013**. V. 62. P.39-55.

- **Morichon D. et al.** Tsunami impact on a detached breakwater: Insights from two numerical models // *Preprint in Journal of Waterway, Port, Coastal and Ocean Engineering*. **2021**.

- Для длинных волн дисперсионные эффекты могут проявиться только на трассах их длительного распространения

- Моделирование воздействия ондулярного бора с прибрежными отдельными волнорезами невозможно без учета дисперсии.



- Методика

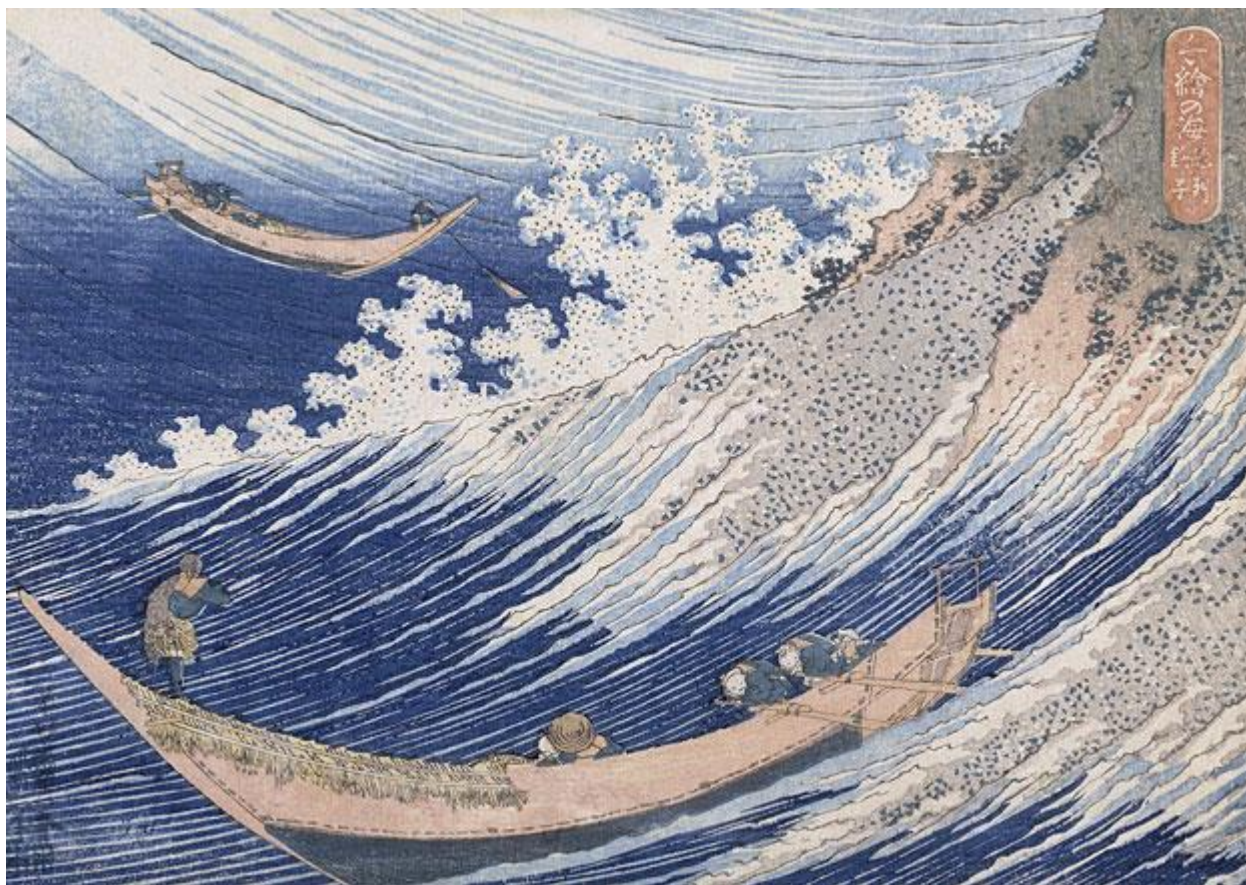
- иерархический подход: исследование явления с помощью моделей различного порядка гидродинамической аппроксимации,
 - явное выделение подвижной линии уреза,
 - проведение расчетов на подвижных сетках.

- Практическая значимость

- повышение достоверности результатов за счет использования моделей «старших» приближений,
 - существенная экономия вычислительных ресурсов за счет использования менее затратных алгоритмов на основе «младших» моделей в тех случаях, когда они обеспечивают необходимую точность.

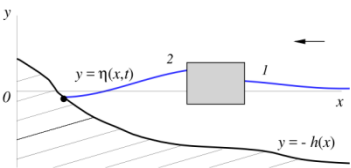


- Представлены **краевые условия** в подвижной точке уреза для **полностью нелинейной дисперсионной модели мелкой воды второго приближения**.
- Определено **влияние дисперсионных эффектов** при накате и формировании отражённых от плоского откоса волн **в зависимости от угла его наклона**.
- Показано, что **учёт дисперсии уменьшает** максимальные **высоту и дальность** заплеска, а также **амплитуду отражённой волны** на 10 — 20%.
- При **увеличении угла** склона **глубина отката уменьшается**, а **амплитуда отражённой волны увеличивается**.
- *Выявленные закономерности вместе с предложенными аналитическими и алгоритмическими конструкциями могут быть использованы для повышения точности моделирования взаимодействия длинных волн с полупогруженными телами, расположенными **вблизи береговых склонов**.*
- *Авторы предполагают в дальнейшем перейти к рассмотрению более реалистичных **рельефов дна, форм** подходящих к берегу **волн**, к моделированию взаимодействия волн **не только со склоном**, но и с расположенными вблизи берега полупогруженными телами, к учёту других важных факторов, например, **трения о дно**.*





Полностью нелинейная слабо дисперсионная SGN - модель (Serre-Green-Naghdi) 1D



$x \in \Omega(t) = (x_0(t), l)$,
 $x_0(t)$ – подвижная точка уреза
 $U(t)$ – скорость движения точки уреза

$H = \eta + h$ – полная глубина

$u(x,t)$ – осредненная по вертикали от дна до свободной поверхности скорость,

\check{p} – давление на дне,

p – проинтегрированное по глубине давление в SGN-модели,

φ – дисперсионная составляющая давления,

ψ – дисперсионная составляющая давления на дне,

$$H_t + (Hu)_x = 0,$$

$$(Hu)_t + (Hu^2 + p)_x = \check{p}h_x$$

$$p = g \frac{H^2}{2} - \varphi, \quad \check{p} = gH - \psi,$$

$$\varphi = \frac{H^3}{3} R_1 + \frac{H^2}{2} R_2, \quad \psi = \frac{H^2}{2} R_1 + HR_2,$$

$$R_1 = u_{xt} + uu_{xx} - u_x^2, \quad R_2 = (u_t + uu_x)h_x - u^2h_{xx}.$$

Начальные условия:

$$H(x,0) = H_0(x), \quad u(x,0) = u_0(x), \quad x \in [x_{00}, l],$$

Краевые условия на подвижной точке уреза:

$$\varphi(x_0(t), t) = 0, \quad t \in [0, T],$$

$$\psi(x_0(t), t) = 0, \quad t \in [0, T].$$

$$H(x_0(t), t) = 0, \quad t \in [0, T],$$

$$H_x(x_0(t), t) \geq 0, \quad t \in [0, T].$$

$$h_x(x_0(t)) \geq \delta_h > 0, \quad t \in [0, T].$$

$$\dot{x}_0(t) = U(t) = u(x_0(t), t)$$

Краевое условие на правой границе: $u(l, t) = 0, \quad t \in [0, T]$

$$\left(k\varphi_x - \frac{6h_x}{H^2 r} \varphi \right) \Big|_{x=l} = \left(g\eta_x + \frac{R}{r} h_x \right) \Big|_{x=l}$$

Khakimzyanov G. Dispersive Shallow Water Waves. Theory, Modeling, and Numerical Methods. Lecture Notes in Geosystems Mathematics and Computing/G.Khakimzyanov, D.Dutykh, Z.Fedotova, O.Gusev. Basel: Birkhäuser, **2020**.



SGN – модель (1D): переход к подвижной (адаптивной) системе координат

$$x = x(q, t), \quad x(0, t) = x_0(t), \quad x(1, t) = l,$$

$$\bar{Q} = [0, 1] \rightarrow \Omega(t) = (x_0(t), l)$$

$$J(q, t) = x_q(q, t) \geq J_0 = \text{const} > 0$$

гладкое, невырожденное
преобразование координат

$$H_t + (Hu)_x = 0,$$

$$(Hu)_t + (Hu^2 + p)_x = \check{p}h_x$$

$$p = g \frac{H^2}{2} - \varphi, \quad \check{p} = gH - \psi,$$

$$\varphi = \frac{H^3 R_1}{3} + \frac{H^2 R_2}{2}, \quad \psi = \frac{H^2 R_1}{2} + HR_2,$$

$$R_1 = u_{xt} + uu_x - u_x^2, \quad R_2 = (u_t + uu_x)h_x - u^2 h_{xx}.$$



$$(JH)_t + [(u - x_t)H]_q = 0,$$

$$(k\varphi_q)_q - 6\varphi \left[\frac{2J}{H^3} \frac{r-3}{r} + \left(\frac{h_q}{JH^2 r} \right)_q \right] = F$$

$$(JHu)_t + \left[(u - x_t)Hu + g \frac{H^2}{2} \right]_q = gHh_q + \varphi_q - \psi h_q,$$

$$\psi = \frac{1}{r} \left(\frac{6\varphi}{H} + HR + \frac{\varphi_q h_q}{J^2} \right), \quad r = 4 + \frac{h_q^2}{J^2},$$

$$R = -g \frac{\eta_q h_q}{J^2} + u^2 \frac{1}{J} \left(\frac{h_q}{J} \right)_q, \quad k = \frac{4}{JHr},$$

$$F = \left(g \frac{\eta_q}{J} + \frac{Rh_q}{Jr} \right)_q - \frac{6RJ}{Hr} + 2 \frac{u_q^2}{J}.$$

Краевые условия:

$$\varphi(0, t) = 0, \quad \left(k\varphi_q - \frac{6h_q\varphi}{JH^2 r} \right) \Big|_{q=0} = \dot{U}(t) + \left(\frac{g\eta_q}{J} + \frac{Rh_q}{Jr} \right) \Big|_{q=0}, \quad \left(k\varphi_q - \frac{6h_q\varphi}{JH^2 r} \right) \Big|_{q=1} = \left(\frac{g\eta_q}{J} + \frac{Rh_q}{Jr} \right) \Big|_{q=1}.$$



SGN – модель (1D):



численный алгоритм расчета во внутренних узлах

декартова

неподвижная система координат

При построении численного алгоритма используется расщепление задачи на две более простые, в **одной** из которых решается система уравнений **гиперболического** типа

$$H_t + (Hu)_x = 0,$$

$$(Hu)_t + \left(Hu^2 + g \frac{H^2}{2} \right)_x = gHh_x + \varphi_x - \psi h_x,$$

в **другой** – линейное обыкновенное дифференциальное уравнение второго порядка относительно функции φ

$$(k\varphi_x)_x - k_0\varphi = F.$$

Система уравнений гиперболического типа и дифференциальное уравнение решаются с помощью метода типа **предиктор-корректор** поочередно как на шаге предиктор, так и корректор с использованием в правых частях и коэффициентах разностных уравнений значений сеточных функций, вычисленных на предыдущих этапах вычислительного алгоритма.

$$k = \frac{4}{Hr}, \quad k_0 = 6 \left(\frac{2}{H^3} \frac{r-3}{r} + \left(\frac{h_x}{H^2 r} \right)_x \right),$$

$$F = \left(g\eta_x + \frac{Rh_x}{r} \right)_x - \frac{6R}{Hr} + 2u_x^2,$$

$$R = -g\eta_x h_x + u^2 h_{xx}, \quad r = 4 + h_x^2.$$

Подвижная адаптивная система координат

$$(JH)_t + \left[(u - x_t)H \right]_q = 0, \quad (JHu)_t + \left[(u - x_t)Hu + g \frac{H^2}{2} \right]_q = gHh_q + \varphi_q - \psi h_q,$$

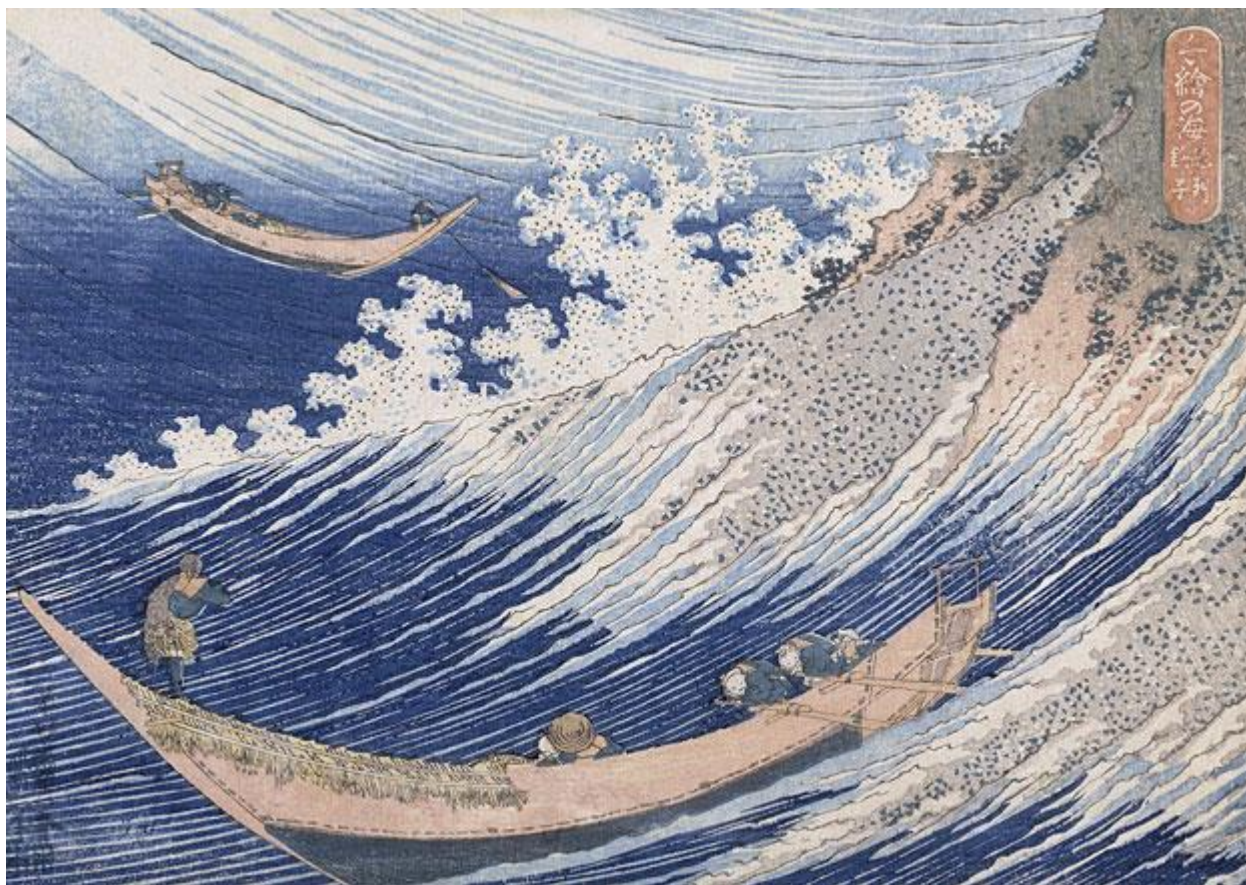
$$\psi = \frac{1}{r} \left(\frac{6\varphi}{H} + HR + \frac{\varphi_q h_q}{J^2} \right), \quad r = 4 + \frac{h_q^2}{J^2}, \quad R = -g \frac{\eta_q h_q}{J^2} + u^2 \frac{1}{J} \left(\frac{h_q}{J} \right)_q.$$

в **одной** из которых решается система уравнений **гиперболического** типа

$$(k\varphi_q)_q - k_0\varphi = F,$$

$$k = \frac{4}{JHr}, \quad k_0 = 6 \left[\frac{2J}{H^3} \frac{r-3}{r} + \left(\frac{h_q}{JH^2 r} \right)_q \right], \quad F = \left(g \frac{\eta_q}{J} + \frac{Rh_q}{Jr} \right)_q - \frac{6RJ}{Hr} + 2 \frac{u_q^2}{J}.$$

в **другой** – линейное обыкновенное дифференциальное уравнение второго порядка относительно функции φ





SGN – модель (1D): расчет траектории подвижной точки уреза

Формулы для расчета траектории движения точки уреза зависят от наклона свободной границы в точке ее пересечения с береговым склоном. Этот наклон всегда удовлетворяет условию $H_q(0, t) \geq 0, t \in [0, T]$

Случай 1: $H_q^n(0) > 0$

$$x_0(t) = x_0^n + x_{01}(t - t^n) + x_{02} \frac{(t - t^n)^2}{2} + x_{03} \frac{(t - t^n)^3}{6} + O((t - t^n)^4)$$

траекторию точки уреза можно искать в виде степенного ряда по времени:

$$U(t) = x_{01} + x_{02}(t - t^n) + x_{03} \frac{(t - t^n)^2}{2} + O((t - t^n)^3),$$

$x_{01} = U(t^n) = u_0^n$ Остальные коэффициенты можно выразить через известные величины на n -ом временном слое.

Для частного случая плоского откоса (под углом θ), сопряженного справа (в точке x_s) с участком дна постоянной глубины h_0 : $x_s = (y_0 + h_0) \cot \theta$

$$x_{01} = u_0^n, \quad x_{02} = -g \left(1 + \eta_x^n \tan \theta\right) \eta_x^n \Big|_{x=x_0^n}, \quad x_{03} = 2g \left(1 + 2\eta_x^n \tan \theta\right) u_x^n H_x^n \Big|_{x=x_0^n}.$$

Для **бездисперсионной** модели: $x_{01} = u_0^n, \quad x_{02} = -g \eta_x^n \Big|_{x=x_0^n}, \quad x_{03} = 2g u_x^n H_x^n \Big|_{x=x_0^n}.$

Bautin S.P., Deryabin S.L., Sommer A.F., Khakimzyanov G. S., Shokina N. Yu. Use of analytic solutions in the statement of difference boundary conditions on a movable shoreline//Russian Journal of Numerical Analysis and Mathematical Modelling. **2011**. V.26, No.4. P.353-377.



SGN – модель (1D):

расчет траектории подвижной точки уреза

Случай 2: $H_q^n(0) = 0$

Касательная к свободной поверхности в точке уреза совпадает с касательной к поверхности дна в этой же точке .

Закон движения точки уреза определяется решением **системы дифференциальных уравнений**:

$$\dot{x}_0(t) = U(t), \quad t > t^n,$$

$$\dot{U}(t) = \left[g - g \left(\frac{h_q}{J} \right)^2 - \frac{U^2(t)}{J} \left(\frac{h_q}{J} \right)_q \right] \frac{h_q}{J} \Big|_{q=0}, \quad t > t^n \quad x_0(t^n) = x_0^n, \quad U(t^n) = u_0^n$$

Для **частного случая** плоского откоса, сопряженного справа с участком дна постоянной глубины h_0 :

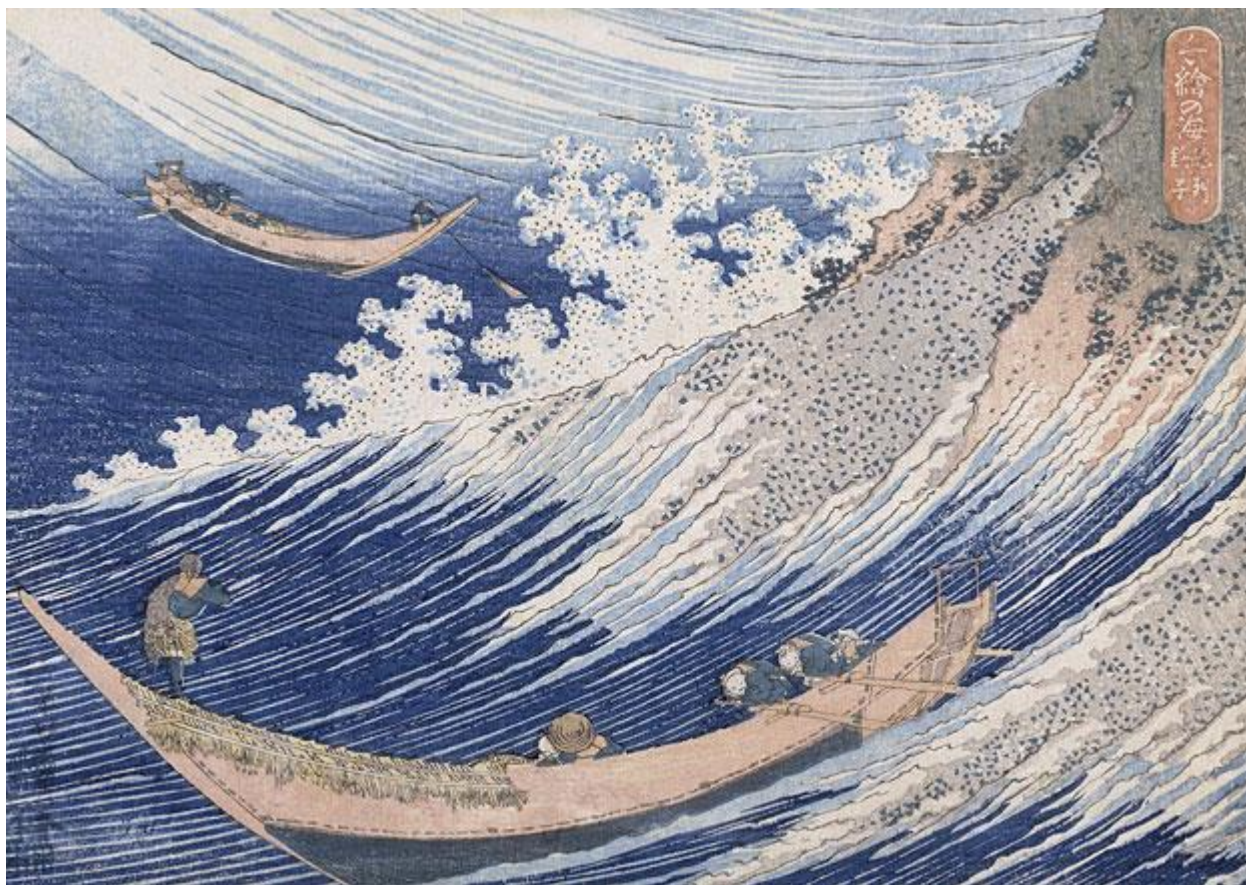
$$x_0(t) = x_0^n + u_0^n(t - t^n) + g(1 - \tan^2 \theta) \tan \theta \frac{(t - t^n)^2}{2},$$

$$U(t) = u_0^n + g(t - t^n)(1 - \tan^2 \theta) \tan \theta.$$

Для **бездисперсионной** модели: $x_0(t) = x_0^n + u_0^n(t - t^n) + g \tan \theta \frac{(t - t^n)^2}{2},$

$$U(t) = u_0^n + g(t - t^n) \tan \theta.$$

Bautin S.P., Deryabin S.L., Sommer A.F., Khakimzyanov G. S., Shokina N. Yu. Use of analytic solutions in the statement of difference boundary conditions on a movable shoreline//Russian Journal of Numerical Analysis and Mathematical Modelling. **2011**. V.26, No.4. P.353-377.





Численное моделирование (постановка задачи)

В расчетах **режим наката** определялся значением разностной производной в точке уреза:

Случай 1: $H_{x,0}^n \geq \delta_H$, **Случай 2:** $H_{x,0}^n < \delta_H$, $\delta_H > 0$.

Оптимальное значение параметра δ_H зависит от шага сетки и характеристик течения в окрестности точки уреза.

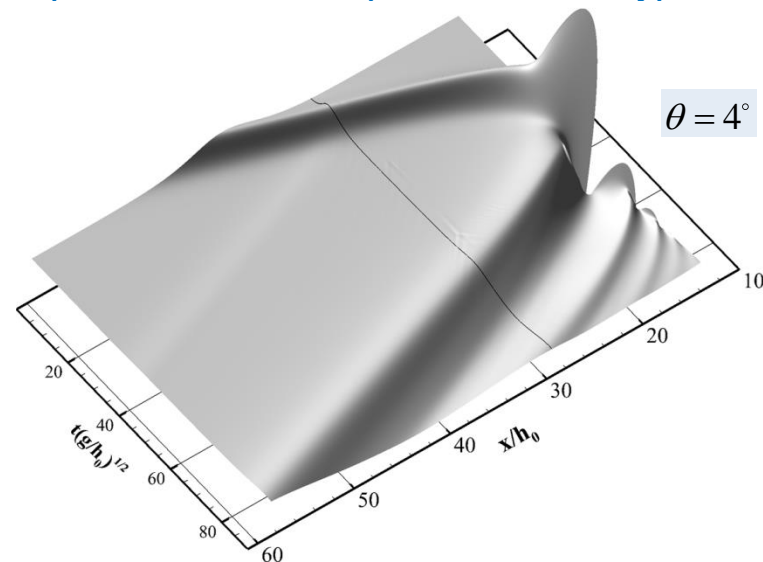
$$y = -h(x) = \begin{cases} y_0 - x \tan \theta & \text{при } 0 \leq x \leq x_s, \\ -h_0 & \text{при } x_s < x \leq l, \end{cases}$$

$$\eta_0(x) = a_0 \operatorname{sech}^2 \left(\frac{\sqrt{3a_0 g}}{2U_0} \frac{x - x_w}{h_0} \right), \quad H_0(x) = h(x) + \eta_0(x),$$

$$u_0(x) = -U_0 \frac{\eta_0(x)}{h_0 + \eta_0(x)}, \quad U_0 = \sqrt{g(h_0 + a_0)}, \quad x_w = x_s + \frac{\lambda}{2},$$

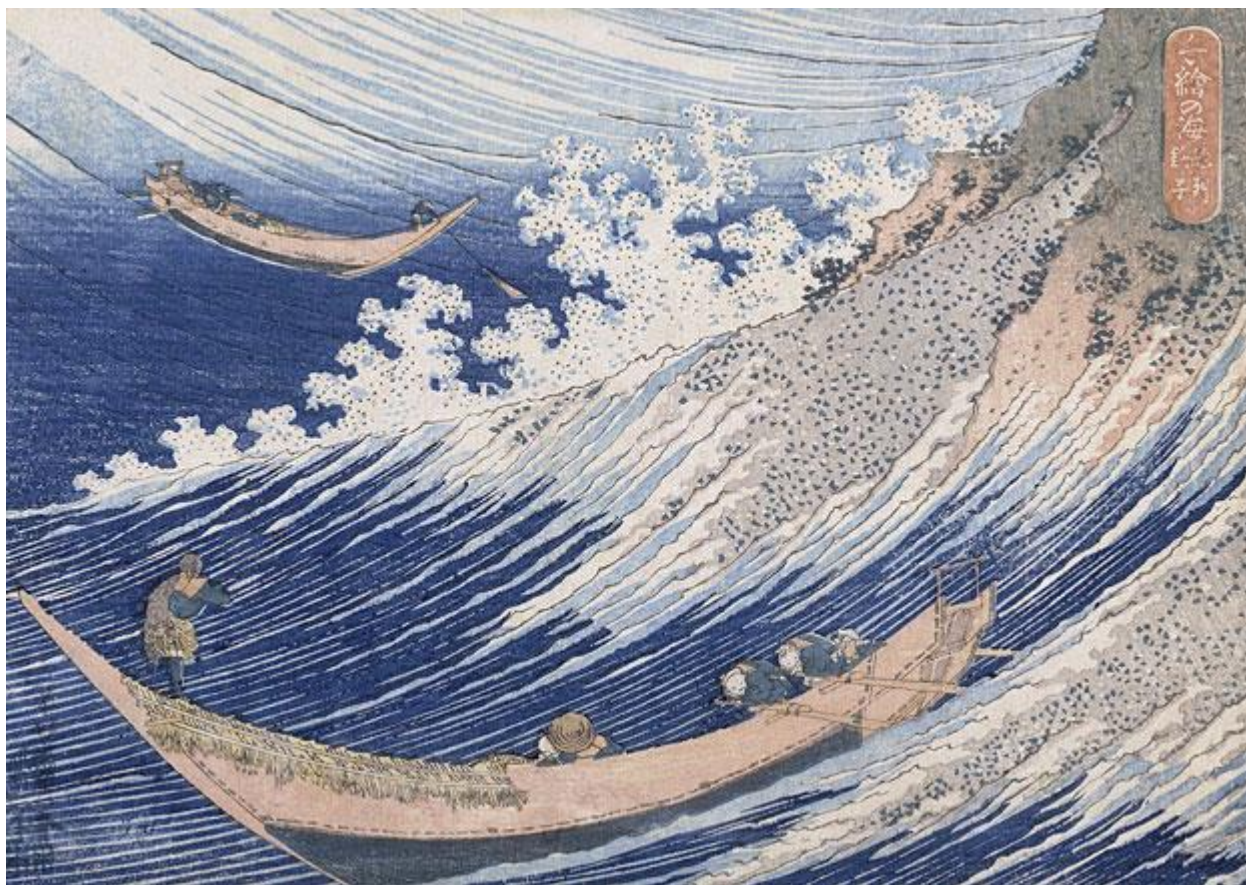
$$\lambda = 4h_0 \sqrt{\frac{a_0 + h_0}{3a_0}} \ln \left(\sqrt{\frac{100}{\Pi}} + \sqrt{\frac{100}{\Pi} - 1} \right), \quad \Pi = 5, \quad l = x_s + 100h_0,$$

$$h_0 = 42\text{м}, \quad a_0 = 3\text{м}, \quad \theta \in [4^\circ, 15^\circ]$$



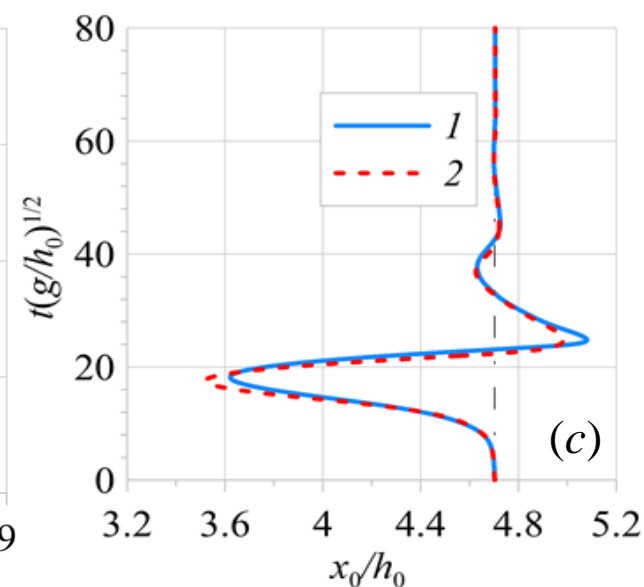
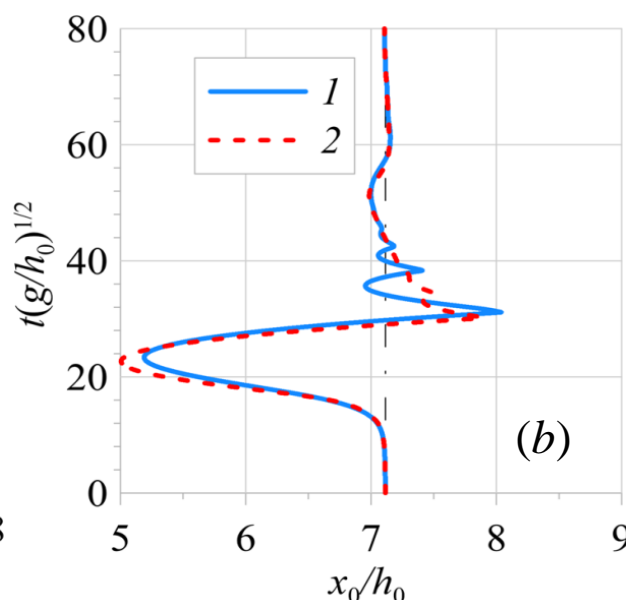
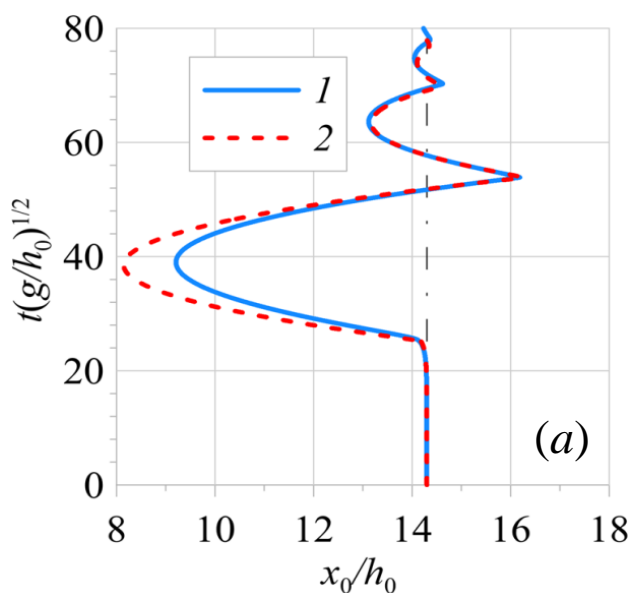
С самого начала расчёта формируется отражённая от основания склона волна малой амплитуды, распространяющаяся в обратном направлении (вправо).

Передний фронт основной волны, продвигающейся по склону, заметно укручается.





Численное моделирование (результаты - 1)

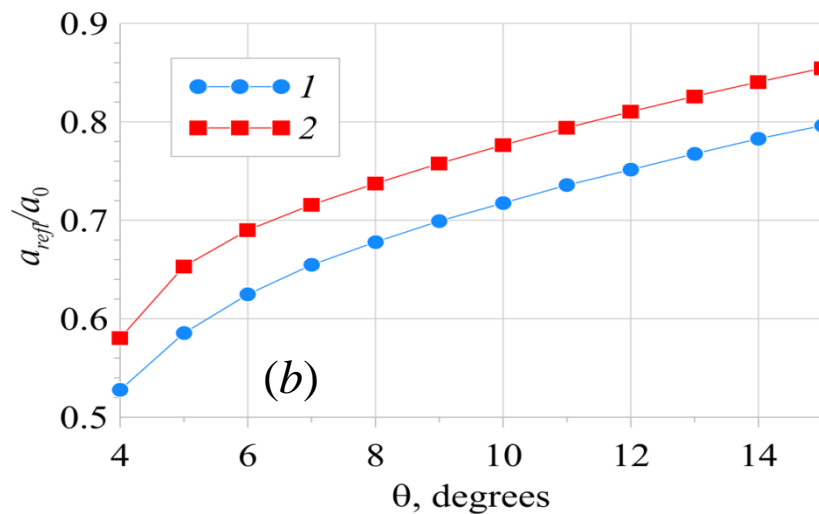
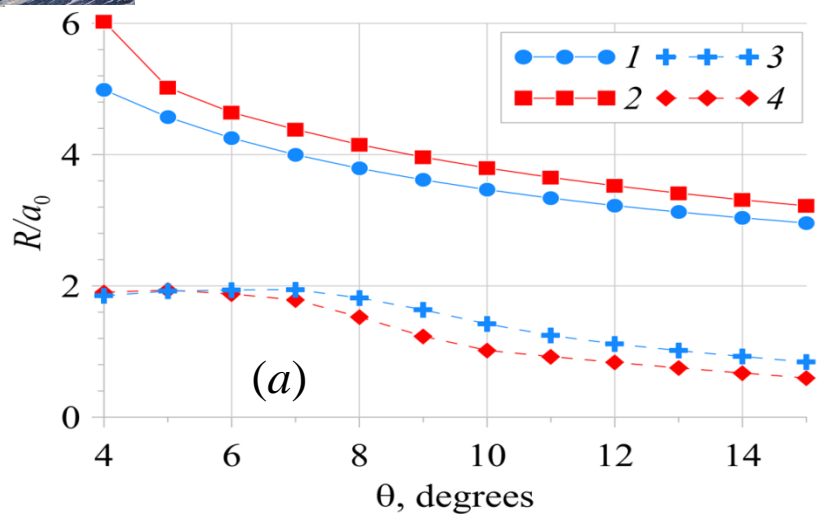


Траектории движения точки уреза в расчётах с использованием SGN-(1) и NSWЕ-модели (2) для углов склона $\theta = 4^\circ$ (a), 8° (b), 12° (c)

- С уменьшением угла склона наблюдается усложнение траектории, увеличение числа фаз наката и отката, рост высоты наката.
- При этом также, с одной стороны, возрастает дистанция и время распространения волны по склону, что увеличивает влияние дисперсионных эффектов,



Численное моделирование (результаты - 2)



Максимальные высоты заплесков (*a*: 1, 2) и глубины отката (*a*: 3, 4), амплитуды отражённой волны (*b*): SGN-модель (1, 3), NSWЕ-модель (2, 4)

- Рисунок (a) - максимальная высота наката, рассчитанная по NSWЕ-модели **больше** примерно на 10 – 20%, чем определенная с учетом частотной дисперсии, но для **глубины отката** наблюдается **обратное** соотношение.
- Рисунок (b) - максимальная амплитуда **отражённой** волны **уменьшается** с **уменьшением** угла склона так, что значения, полученные с использованием NSWЕ-модели, оказываются **больше**, рассчитанных в рамках SGN-модели.



Численное моделирование (результаты - 3)

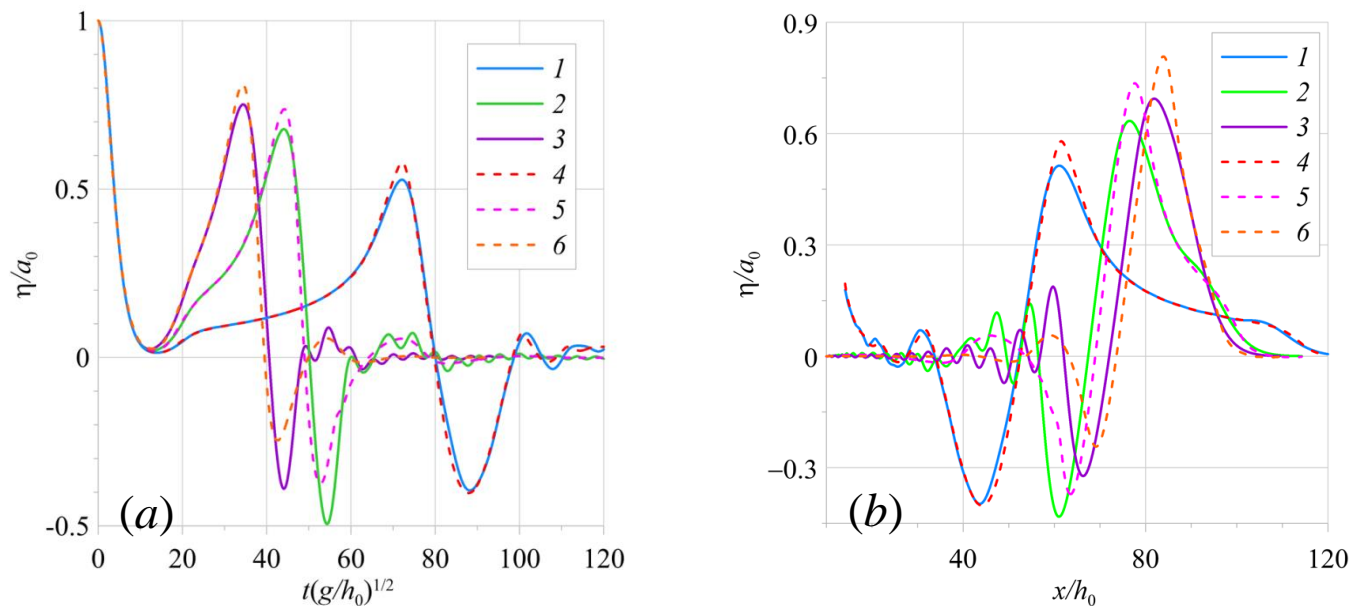
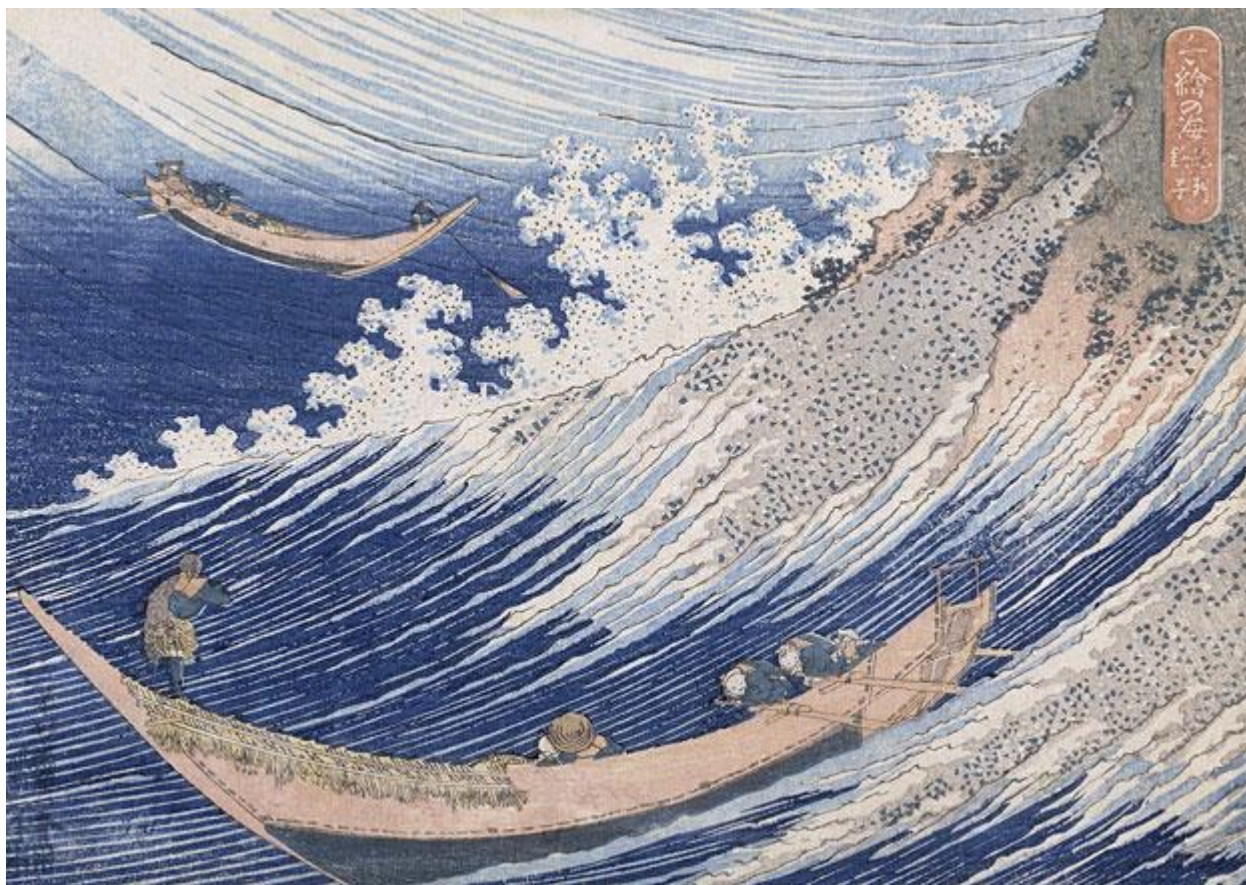


Рисунок (a) - записи виртуального **мареографа**, расположенного в точке x_w ;

Рисунок (b) - **профили** свободной поверхности в момент времени $t\sqrt{g/h_0} = 94$;

SGN-модель - (1, 2, 3), **NSWE-модель** - (4, 5, 6); $\theta = 4^\circ$ (1, 4), 8° (2, 5) и 12° (3, 6).

- При откате за головной волной формируется цуг из волн меньшей амплитуды, хорошо заметный на записях виртуального мареографа, расположенного в точке x_w ,
- а также на графиках свободной поверхности в момент времени $t\sqrt{g/h_0} = 94$.





- Представлены **краевые условия** в подвижной точке уреза для **полностью нелинейной дисперсионной модели мелкой воды второго приближения**.
- Определено **влияние дисперсионных эффектов** при накате и формировании отражённых от плоского откоса волн **в зависимости от угла его наклона**.
- Показано, что **учёт дисперсии уменьшает** максимальные **высоту и дальность** заплеска, а также **амплитуду отражённой волны** на 10 — 20%.
- При **увеличении угла** склона **глубина отката уменьшается**, а **амплитуда отражённой волны увеличивается**.
- *Выявленные закономерности вместе с предложенными аналитическими и алгоритмическими конструкциями могут быть использованы для повышения точности моделирования взаимодействия длинных волн с полупогруженными телами, расположенными **вблизи береговых склонов**.*
- *Авторы предполагают в дальнейшем перейти к рассмотрению более реалистичных **рельефов дна, форм** подходящих к берегу **волн**, к моделированию взаимодействия волн **не только со склоном**, но и с расположенными вблизи берега полупогруженными телами, к учёту других важных факторов, например, **трения о дно**.*

